

# Notturmo a Sormano – 28/12/2012

Riportiamo alcune immagini riprese da Sormano (CO) il 28/12/2012 in condizione di Luna Piena. La camera di ripresa è una Canon EOS 40D + Obiettivo Samyang FishEye 8mm su cavalletto. I dati tecnici sono riportati sotto ciascuna immagine.

We post some pictures taken in Sormano (CO) the 28th of December 2012 with full moon. Camera was a Canon EOS 40D + Samyang FishEye 8mm lens on tripod. Technical data are reported under each picture.



218 sec, 400 ISO, f/22



270 sec., 400 ISO, f/22



300 sec, 400 ISO, f/22

Per scaricare i file originali in formato CR2 [clicca qui](#) (password richiesta) / [Click here](#) in order to download the original files in CR2 format (password request)

---

# Sole in H $\alpha$ – 09/12/2012

**Telescopio o obiettivo di acquisizione (Imaging telescope or lens):** LUNT H-alpha 60mm BF1200 [Gruppo Amici del Cielo]

**Camera di acquisizione (Imaging camera):** Imaging Source DBK31.AU03 colori [4.65  $\mu$ m] [Gruppo Amici del Cielo]

**Montatura (Mount):** SkyWatcher NEQ6

**Telescopio o obiettivo di guida (Guiding telescope or lens):** non presente (not present)

**Camera di guida (Guiding camera):** non presente (not present)

**Riduttore di focale (Focal reducer):** non presente (not present)

**Software (Software):** Registax6 + Adobe Photoshop CS6

**Accessori (Accessories):** non presente (not present)

**Filtri (Filter):** non presente (not present)

**Risoluzione (Resolution):** 1024 x 768

**Data (Date):** 09/12/2012

**Luogo (Location):** Briosco – MB, Italia (Italy)

**Pose (Frames):** mosaico di 17 pose, ciascuna somma di 1000 frames per l'immagine a colori (mosaic of 17 pictures, each one is sum of 1000 frames for the true color image) / mosaico di 12 pose, ciascuna somma di 1000 frames per l'immagine solar nirvana (mosaic of 17 pictures, each one is sum of 1000 frames for the solar nirvana image).

**Calibrazione (Calibration):** non presente (not present)

**Fase lunare media (Average Moon phase):** 13%

**Campionamento (Pixel scale):** 1950 sec / 1016 pixel = 1.9193 arcsec/pixel

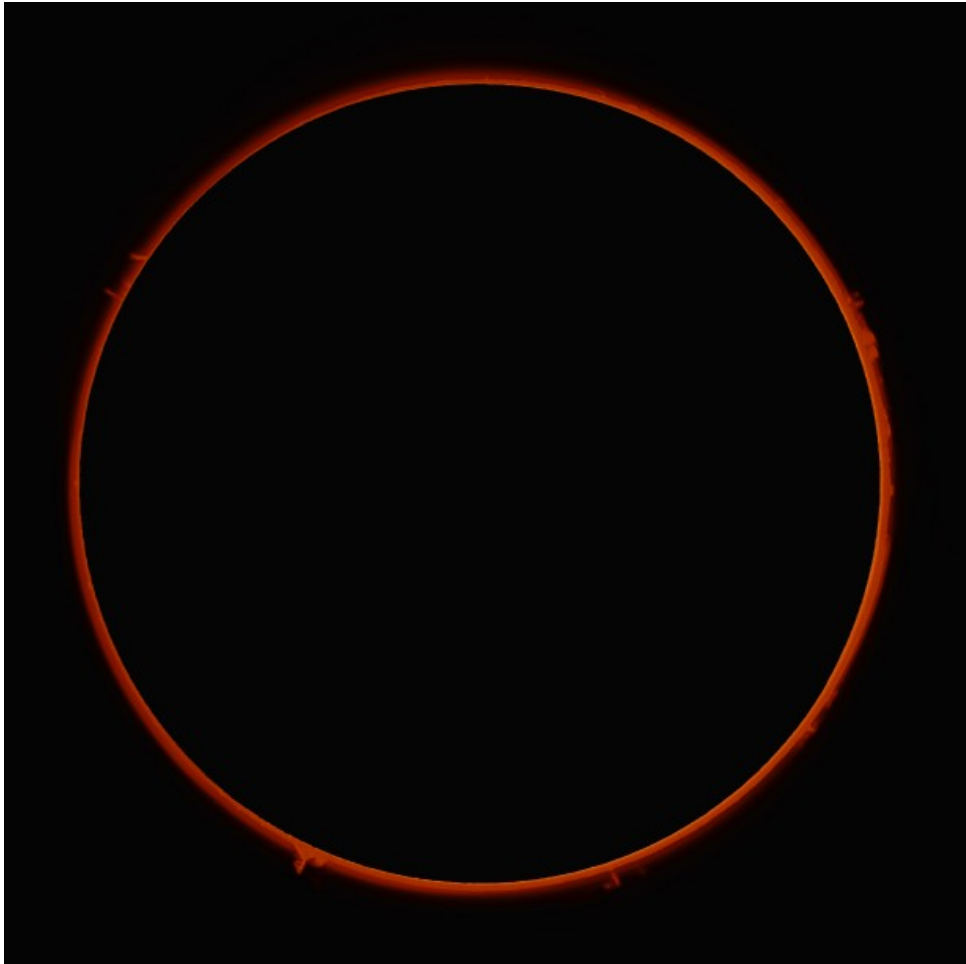
**Focale equivalente (Equivalent focal length):** 500 mm



Sole in H $\alpha$  – 09/12/2012

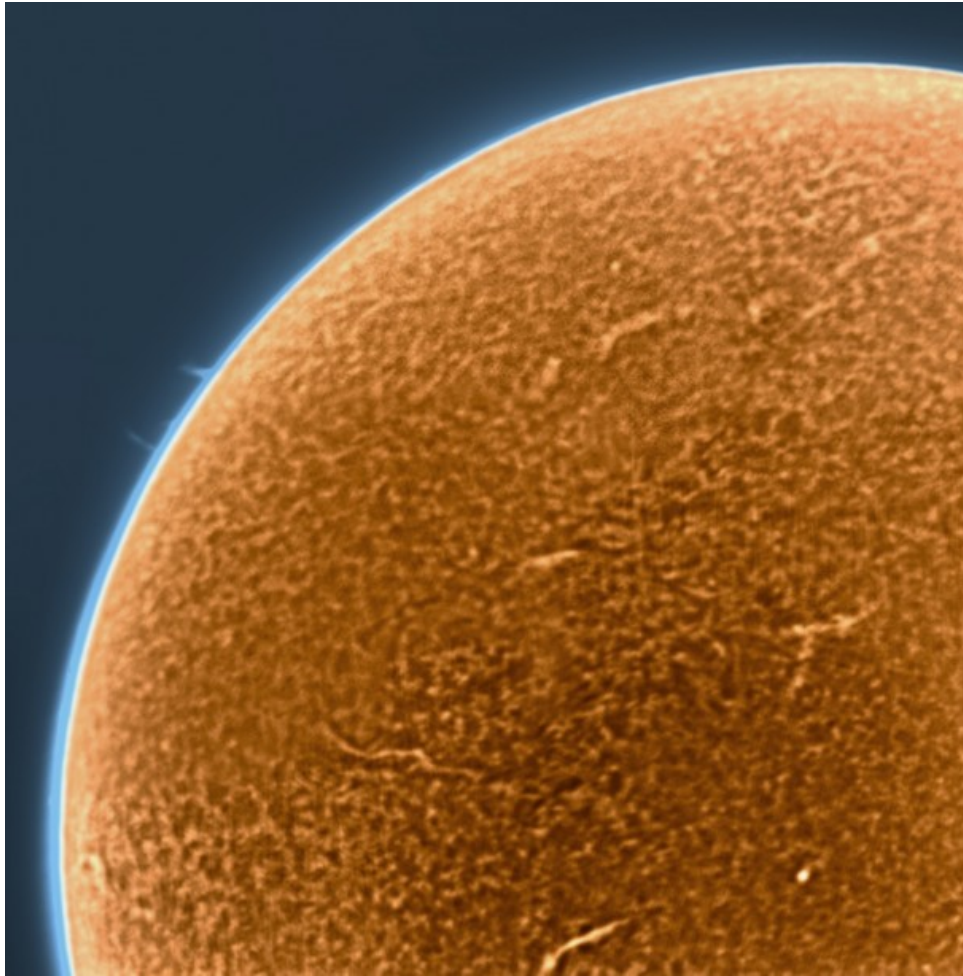
Riportiamo anche l'immagine della sola Cromosfera (effetto eclisse) / Image of Chromosphere only (eclipse effect) is also reported.





Sole in H $\alpha$  – 09/12/2012

Riportiamo il Solar Nirvana effettuato sul bordo nord occidentale del Sole / Solar Nirvana is also reported.



Solar Nirvana - Sole 09/12/2012

---

## **Giove – 19/12/2012**

**Telescopio o obiettivo di acquisizione (Imaging telescope or lens):** Newton SkyWatcher WidePhoto 200 mm f/4

**Camera di acquisizione (Imaging camera):** Imaging Source DBK31.AU03 colori/color [4.65  $\mu\text{m}$ ] – Magzero MZ-5m B/W [5.2  $\mu\text{m}$ ]

**Montatura (Mount):** SkyWatcher NEQ6

**Telescopio o obiettivo di guida (Guiding telescope or lens):**  
non presente (not present)

**Camera di guida (Guiding camera):** non presente (not present)

**Riduttore di focale (Focal reducer):** non presente (not present)

**Software (Software):** Registax5.1/Registax6 + Adobe Photoshop CS6

**Accessori (Accessories):** Lente di Barlow TeleVue Powermate 5x (TeleVue Powermate 5x Barlow lens)

**Filtri (Filter):** non presente (not present)

**Risoluzione (Resolution):** 1024 x 768 – 800 x 600

**Data (Date):** 19/12/2012

**Luogo (Location):** Briosco – MB, Italia (Italy)

**Pose (Frames):** somma di circa 1000 frames

**Calibrazione (Calibration):** non presente (not present)

**Fase lunare media (Average Moon phase):** 49.9%

**Campionamento (Pixel scale):** 0,21727 arcsec/pixel – 0.24599 arcsec/pixel

**Focale equivalente (Equivalent focal length):** 4360 mm



Giove - 19/12/2012 - il satellite in

figura è Io



Giove - 19/12/2012 - il satellite in  
figura è Io



Giove - 19/12/2012 - il satellite in  
figura è Io





Giove - 19/12/2012 - il satellite in figura è Io

[\(clicca qui per scaricare le immagini originali in formato TIFF – click here in order to download the TIFF files\)](#)

---

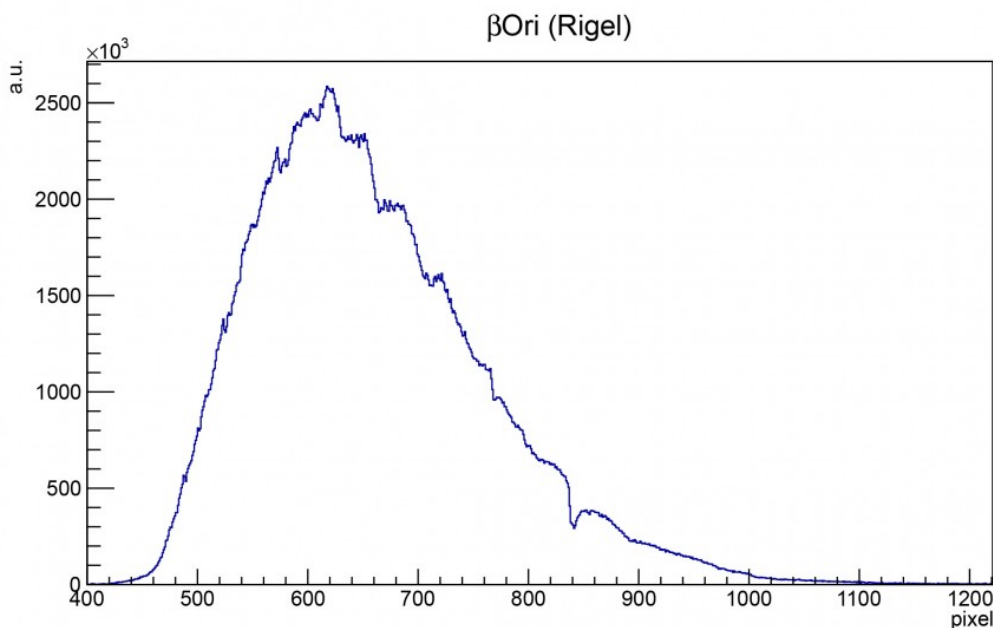
## B8- $\beta$ 0ri (Rigel)



La stella  $\beta$  della costellazione di Orione è di tipo B8 Iab e si trova a 860 A.L. dalla nostra stella. Questa ruota su se stessa con una velocità di circa 43 km/s. La stella è una supergigante blu con temperatura stimata è intorno ai 12'000 K.

L'immagine in figura rappresenta lo spettro di  $\beta$ 0ri ripresa il giorno 19 Dicembre 2012 alle ore 23.24 (TMEC) da Briosco (MB) con un telescopio Newton SkyWatcher 200mm f/4 + reticolo di diffrazione StarAnalyser 100 + camera Magzero MZ-5m. Di seguito è riportato l'istogramma della regione di interesse. L'offset ottenuto tramite fit gaussiano è 103.735 pixel. La

massima luminosità è raggiunta per lunghezze d'onda pari a 5271.8 Å. [Scarica il file di testo della misura.](#)



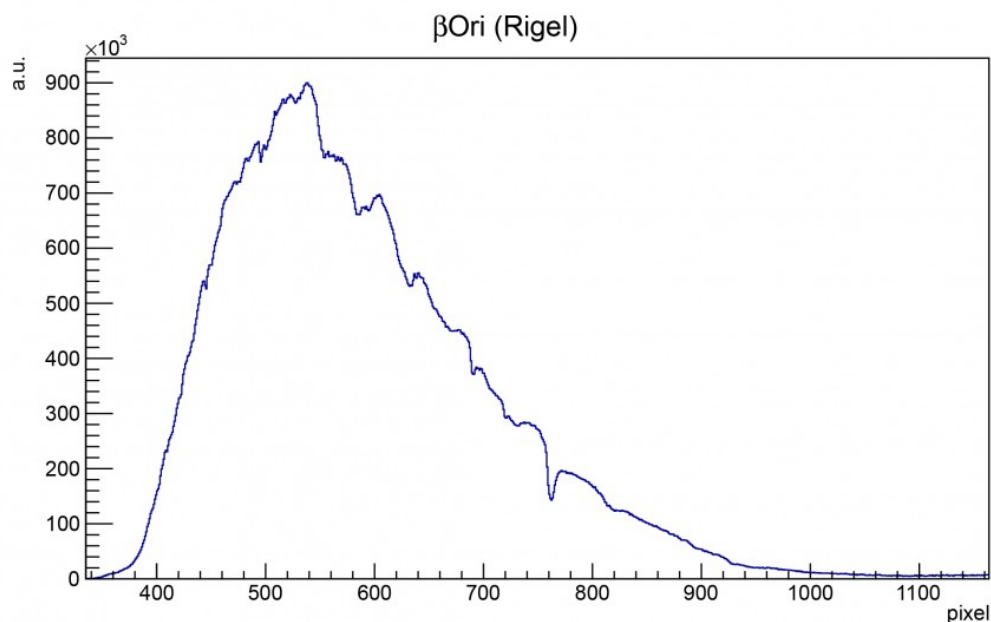
Spettro di assorbimento non calibrato (Visual Spec)

A questo punto si è proceduto alla realizzazione dello spettro MAX-assorbimento al fine di semplificare le future operazioni di fit. Effettuando un fit gaussiano sui picchi otteniamo:

- 3958.7 Å *linea Hε dell'HI (3969.7 Å)*
- 4084.7 Å *linea Hδ dell'HI (4101.3 Å)*
- 4332.9 Å *linea Hγ dell'HI (4340.0 Å)*
- 4844.2 Å *linea Hβ dell'HI (4860.8 Å)*
- 4902.9 Å
- 5187.5 Å
- 6781.8 Å
- 5841.3 Å
- 5897.4 Å
- 6246.4 Å
- 6841.0 Å
- 7577.8 Å



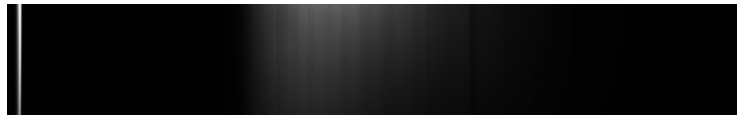
La stessa stella è stata ripresa con il medesimo setup anche all'ore 23.24 (TMEC). L'offset ottenuto tramite fit gaussiano è 23.1432 pixel. La massima luminosità è raggiunta per lunghezze d'onda pari a 5288.1 Å. [Scarica il file di testo della misura.](#)



Spettro di assorbimento non calibrato (Visual Spec)

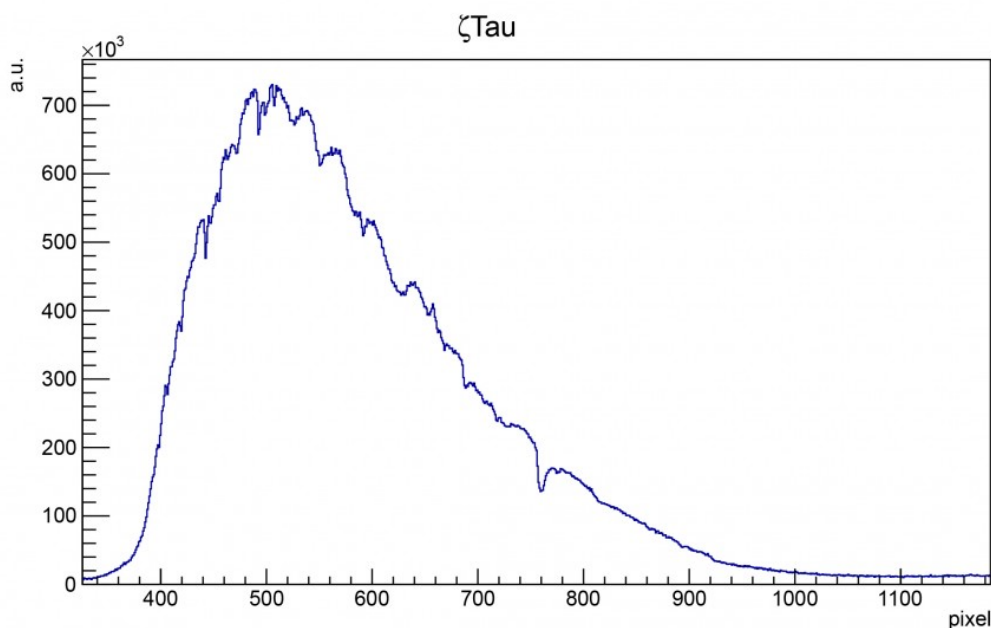
- 4336.4 Å *linea H $\gamma$  dell'HI (4340.0 Å)*
- 4853.9 Å *linea H $\beta$  dell'HI (4860.8 Å)*
- 4902.0 Å
- 5081.0 Å
- 5179.4 Å
- 5460.9 Å
- 5772.5 Å
- 5869.6 Å
- 6256.2 Å
- 6663.7 Å
- 6856.4 Å
- 7162.8 Å
- 7274.7 Å
- 7591.3 Å
- 8199.8 Å

## B2-ζTau



La stella ζ della costellazione del Toro è un sistema binario di cui la principale è una gigante blu di tipo B2 IIIpe situato a 417 A.L. dalla nostra stella. La principale è anche una stella Be e ruota su se stessa con una velocità di circa 20 km/s. La temperatura stimata è intorno ai 19'340 K.

L'immagine in figura rappresenta lo spettro di ζTau ripreso il giorno 19 Dicembre 2012 alle ore 23.14 (TMEC) da Briosco (MB) con un telescopio Newton SkyWatcher 200mm f/4 + reticolo di diffrazione StarAnalyser 100 + camera Magzero MZ-5m. Di seguito è riportato l'istogramma della regione di interesse. L'offset ottenuto tramite fit gaussiano è 21.2611 pixel. La massima luminosità è raggiunta per lunghezze d'onda pari a 4969.0 Å. [Scarica il file di testo della misura.](#)



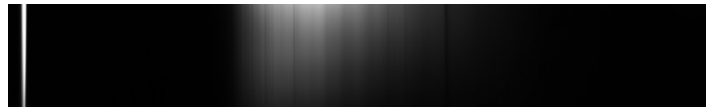
## Spettro di assorbimento non calibrato (Visual Spec)

A questo punto si è proceduto alla realizzazione dello spettro MAX-assorbimento al fine di semplificare le future operazioni di fit. Effettuando un fit gaussiano sui picchi otteniamo:

- 3873.2 Å *linea H $\zeta$  dell'HI (3888.6 Å)*
  - 3957.7 Å *linea H $\epsilon$  dell'HI (3969.7 Å)*
  - 4089.5 Å *linea H $\delta$  dell'HI (4101.3 Å)*
  - 4329.2 Å *linea H $\gamma$  dell'HI (4340.0 Å)*
  - 4374.6 Å
  - 4454.5 Å
  - 4545.1 Å
  - 4626.6 Å
  - 4846.8 Å *linea H $\beta$  dell'HI (4860.8 Å)*
  - 4906.1 Å
  - 4994.6 Å
  - 5188.9 Å
  - 5278.8 Å
  - 5444.6 Å
  - 5774.8 Å
  - 5859.6 Å
  - 6494.1 Å
  - 6650.2 Å
  - 6857.0 Å
  - 7162.5 Å
  - 7261.0 Å
  - 7580.9 Å
  - 7747.8 Å
  - 8215.4 Å
-

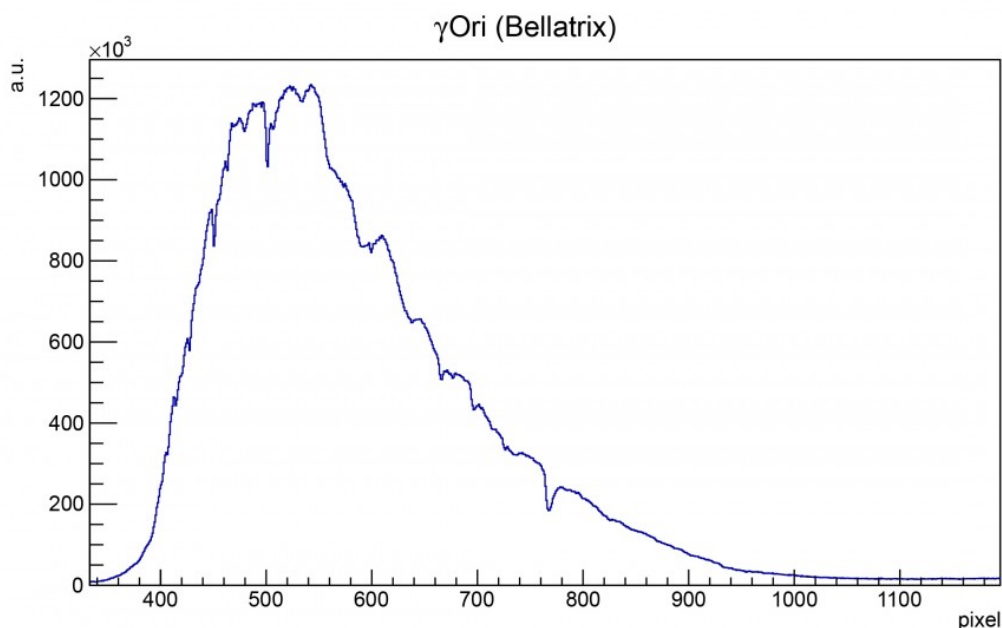


# B2- $\gamma$ 0ri (Bellatrix)



La stella  $\gamma$  della costellazione di Orione è di tipo B2 III e si trova tra 240 A.L. dalla nostra stella. Questa ruota su se stessa con una velocità di circa 50 km/s. La stella è una gigante blu anche se l'assegnazione a questa categoria di stelle è ancora controversa. La temperatura stimata è intorno ai 22'000 K.

L'immagine in figura rappresenta lo spettro di  $\gamma$ 0ri ripreso il giorno 19 Dicembre 2012 alle ore 23.19 (TMEC) da Briosco (MB) con un telescopio Newton SkyWatcher 200mm f/4 + reticolo di diffrazione StarAnalyser 100 + camera Magzero MZ-5m. Di seguito è riportato l'istogramma della regione di interesse. L'offset ottenuto tramite fit gaussiano è 28.3933 pixel. La massima luminosità è raggiunta per lunghezze d'onda pari a 5275.3 Å. [Scarica il file di testo della misura.](#)



Spettro di assorbimento non calibrato (Visual Spec)

A questo punto si è proceduto alla realizzazione dello spettro

MAX-assorbimento al fine di semplificare le future operazioni di fit. Effettuando un fit gaussiano sui picchi otteniamo:

- 3882.5 Å *linea H $\zeta$  dell'HI (3888.6 Å)*
- 3968.2 Å *linea H $\epsilon$  dell'HI (3969.7 Å)*
- 4099.0 Å *linea H $\delta$  dell'HI (4101.3 Å)*
- 4338.7 Å *linea H $\gamma$  dell'HI (4340.0 Å)*
- 4466.8 Å
- 4527.9 Å
- 4549.0 Å
- 4633.0 Å
- 4856.6 Å *linea H $\beta$  dell'HI (4860.8 Å)*
- 4912.1 Å
- 5189.7 Å
- 5781.2 Å
- 5864.4 Å
- 6553.7 Å *linea H $\alpha$  dell'HI (6562.1 Å)*
- 6656.4 Å
- 6865.1 Å
- 7170.1 Å
- 7592.7 Å
- 8183.4 Å

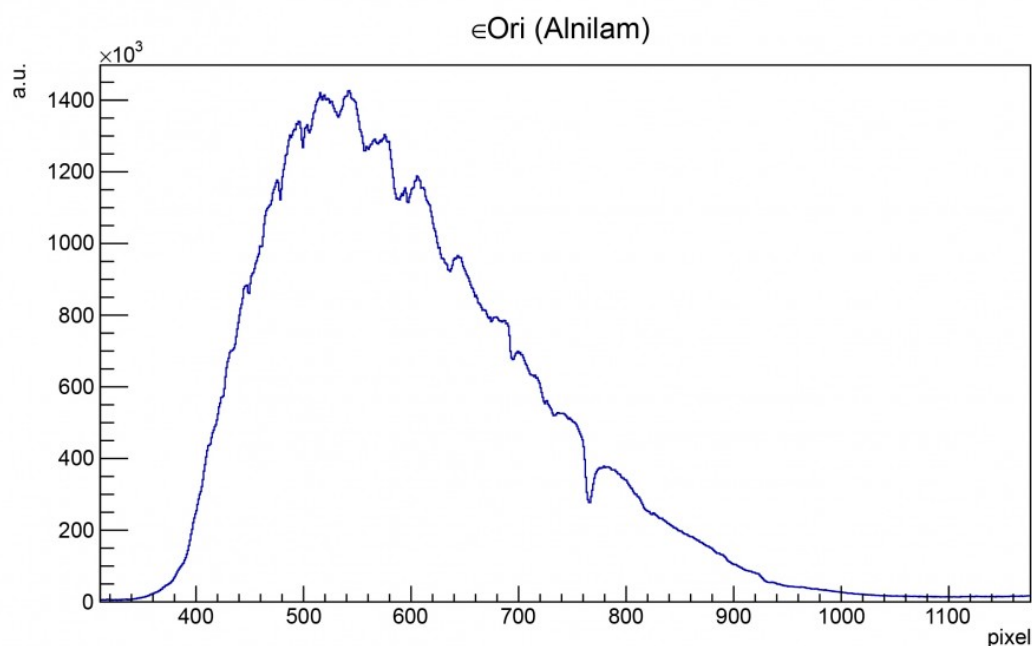
---

## B0- $\epsilon$ Or $\iota$ (Alnilam)



La stella  $\epsilon$  della costellazione di Orione è di tipo B0 Iab e si trova tra 1'300 e 1'600 A.L. dalla nostra stella. Questa ruota su se stessa con una velocità di circa 25.9 km/s. La stella è una supergigante blu molto calda e molto luminosa. La temperatura stimata è intorno ai 28'500 K.

L'immagine in figura rappresenta lo spettro di  $\epsilon$ Ori ripresa il giorno 19 Dicembre 2012 alle ore 23.29 (TMEC) da Briosco (MB) con un telescopio Newton SkyWatcher 200mm f/4 + reticolo di diffrazione StarAnalyser 100 + camera Magzero MZ-5m. Di seguito è riportato l'istogramma della regione di interesse. L'offset ottenuto tramite fit gaussiano è 25.8346 pixel. La massima luminosità è raggiunta per lunghezze d'onda pari a 5301.6 Å. [Scarica il file di testo della misura.](#)



Spettro di assorbimento non calibrato (Visual Spec)

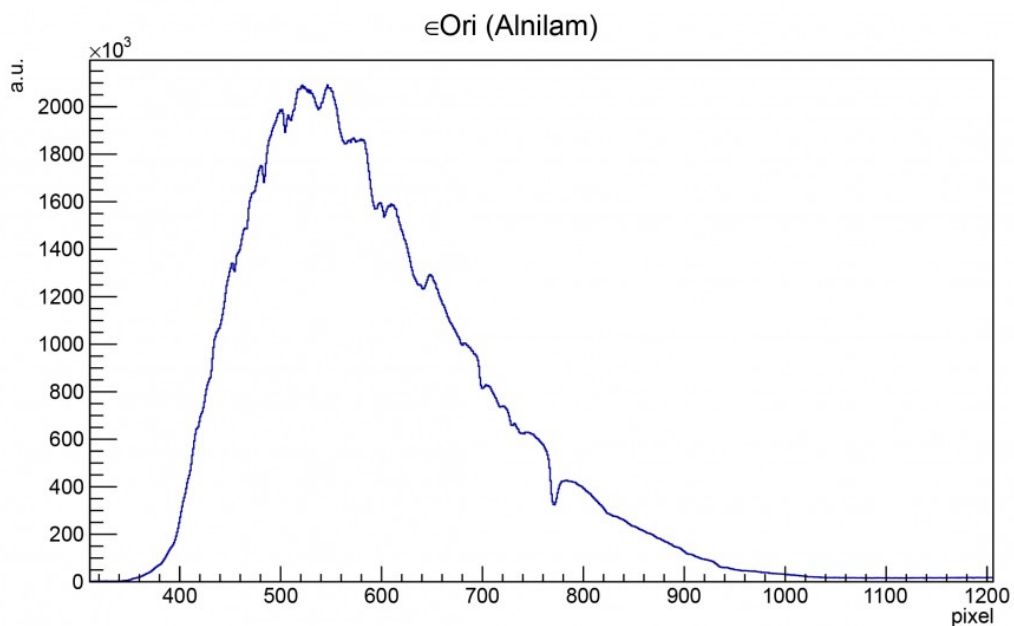
A questo punto si è proceduto alla realizzazione dello spettro MAX-assorbimento al fine di semplificare le future operazioni di fit. Effettuando un fit gaussiano sui picchi otteniamo:

- 3969.2 Å *linea H $\epsilon$  dell'HI (3969.7 Å)*
- 4094.4 Å *linea H $\delta$  dell'HI (4101.3 Å)*
- 4347.2 Å *linea H $\gamma$  dell'HI (4340.0 Å)*
- 4470.2 Å
- 4649.8 Å
- 4864.1 Å *linea H $\beta$  dell'HI (4860.8 Å)*
- 4926.3 Å
- 5049.6 Å

- 5201.1 Å
- 5455.5 Å
- 5487.5 Å
- 5579.4 Å
- 5778.0 Å
- 5868.1 Å
- 6264.8 Å
- 6661.8 Å
- 6866.0 Å
- 7175.0 Å
- 7266.4 Å
- 7600.2 Å



La stessa stella è stata ripresa con il medesimo setup anche all'ore 23.30 (TMEC). L'offset ottenuto tramite fit gaussiano è 31.9885 pixel. La massima luminosità è raggiunta per lunghezze d'onda pari a 5279.5 Å. [Scarica il file di testo della misura.](#)



Spettro di assorbimento non calibrato (Visual Spec)

A questo punto si è proceduto alla realizzazione dello spettro MAX-assorbimento al fine di semplificare le future operazioni di fit. Effettuando un fit gaussiano sui picchi otteniamo:

- 4337.0 Å *linea H $\gamma$  dell'HI (4340.0 Å)*
- 4453.9 Å
- 4639.0 Å
- 4854.0 Å *linea H $\beta$  dell'HI (4860.8 Å)*
- 4908.6 Å
- 5196.1 Å
- 5464.6 Å
- 5775.7 Å
- 5864.3 Å
- 6223.1 Å
- 6255.8 Å
- 6654.4 Å
- 6861.1 Å
- 7166.1 Å
- 7590.6 Å

---

## La “modifìca Baader” per DSLR

L'avvento della fotografia digitale ha aperto un nuovo mondo all'astrofotografo che da pellicole ipersensibilizzate, tiraggi e rullini in frigorifero si è ritrovato catapultato nel pianeta del rumore elettronico, somme e flat field.

Se però in passato per riprendere il cielo era necessaria tanta esperienza sul campo e una reflex, oggi non è più così. Infatti gran parte dell'esperienza la si fa davanti al computer sfogliando i numerosi articoli presenti sul web mentre una reflex digitale offre la possibilità di riprendere il cielo ma con molte limitazioni. Infatti al fine



di migliorare le immagini fornite dai sensori digitali, che altrimenti risulterebbero poco definite, si è deciso di montare di fronte al sensore CMOS un filtro IR-cut. Questo è importantissimo per le riprese diurne ma è un peso insostenibile per l'astrofotografo notturno. Tale filtro è vero che taglia l'IR ma, allo stesso tempo, diminuisce notevolmente la sensibilità del sensore nella regione rossa dello spettro elettromagnetico ed in particolare in prossimità della lunghezza d'onda a 6561.1 Å nota come linea H $\alpha$  dell'Idrogeno. Gran parte delle nebulose purtroppo emettono in questa frequenza e una riduzione di efficienza quantica in tale zona risulta pertanto dannosa in termini astrofotografici.

Ecco quindi che l'azienda Baader ha messo in produzione alcuni filtri che, se sostituiti a quelli ufficiali posti di fronte al sensore delle DSLR, permettono di recuperare completamente l'efficienza quantica in quella regione dello spettro. I filtri Baader rimangono dei filtri IR-cut, dato che la radiazione IR deve comunque essere bloccata al fine di salvaguardare la qualità dell'immagine, ma allo stesso tempo risultano trasparenti alla linea H $\alpha$  dell'Idrogeno. Ovviamente la Baader non è l'unica azienda che produce filtri del genere ma ad oggi la sostituzione del filtro originale con uno astronomico prende generalmente il nome di "modifica Baader". Anche Canon ha prodotto due modelli di reflex digitali con filtri modificati per l'astronomia ed esattamente la Canon EOS 20Da e la moderna Canon EOS 60Da.

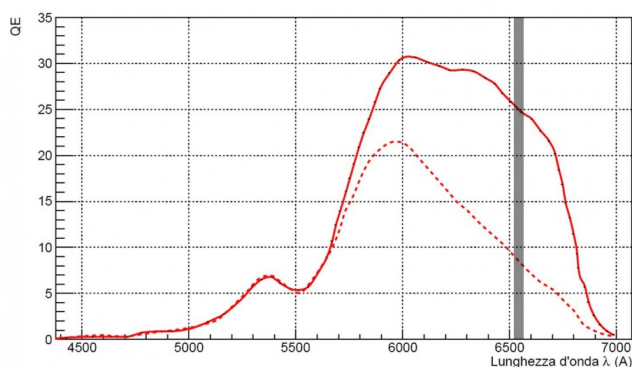


Figura 1: L'efficienza quantica dei pixel rossi di una Canon EOS 40D originale (linea tratteggiata) e modificata Baader (linea continua). La banda nera rappresenta la posizione della linea H $\alpha$  dell'Idrogeno, lunghezza d'onda dove emettono gran parte delle nebulose.

Escludendo questi modelli "commerciali", la sostituzione dei filtri Baader è a carico del consumatore che può comunque fare affidamento su persone specializzate nel settore che sostituiscono il filtro ad un prezzo contenuto.

Ma quanto si guadagna in termini astrofotografici con la sostituzione del filtro? La risposta è semplice: molto. Se si considera ad esempio una Canon EOS 40D; l'efficienza quantica dei pixel rossi passa dal 8.09% originali al 24.61% del modello modificato Baader (vedi Figura 1). Un fattore 3 in efficienza quantica svolge un ruolo fondamentale nella buona riuscita di una ripresa astronomica. Un confronto tra due riprese effettuate con una Canon EOS 500D originale e modifica è riportato in Figura 2.

Cosa possiamo dire riguardo i pixel verdi e blu? Come influisce la modifica su questi tipi di pixel? La risposta è semplice e la trovate nella figura 1 dell'articolo ["Efficienza Quantica"](#). La modifica Baader sostanzialmente non modifica l'efficienza quantica dei pixel verdi e blu. Questo si traduce nel non avere nessun tipo di guadagno in luminosità per oggetti di quel colore. Pertanto, riprendere nebulose come quella che circondano le Pleiadi o galassie come la Grande Galassia di Andromeda, con filtro originale o Baader, non comporta nessuna differenza.



Figura 2: Un confronto tra due immagini della nebulosa M8 ed M20 nel Sagittario riprese con una Canon EOS 500D originale (immagine di sinistra) e modificata (immagine di destra).

---

## NGC 7635 – 10/12/2012

**Telescopio o obiettivo di acquisizione (Imaging telescope or lens):** Newton SkyWatcher BlackDiamond 150 mm f/5

**Camera di acquisizione (Imaging camera):** CCD Atik 314L+ B/W [6.45  $\mu\text{m}$ ]

**Montatura (Mount):** SkyWatcher NEQ6

**Telescopio o obiettivo di guida (Guiding telescope or lens):** Rifrattore ED (ED refractor) Tecnosky Carbon Fiber 80mm f/7

**Camera di guida (Guiding camera):** Magzero MZ-5m B/W [5.2  $\mu\text{m}$ ]

**Riduttore di focale (Focal reducer):** non presente (not present)

**Software (Software):** IRIS + Adobe Photoshop CS3/CS6

**Accessori (Accessories):** correttore di coma Baader MPCC (coma corrector)

**Filtri (Filter):** Astronomik CCD H $\alpha$  13nm, Astronomik CCD RGB

**Risoluzione (Resolution):** 1391 x 1039 (originale/original), 1291 x 951 (finale/final)

**Data (Date):** 06-10/12/2012

**Luogo (Location):** Briosco – MB, Italia (Italy)

**Pose (Frames):** 5 x 900 sec bin 1x1 H $\alpha$  (06/12/2012) a/at -17.0°C, 6 x 480 sec bin 1x1 R (10/12/2012) a/at -14.9°C, 4 x 480 sec bin 1x1 G (10/12/2012) a/at -14.9°C, 4 x 480 sec bin 1x1 B (10/12/2012) a/at -14.9°C.

**Calibrazione (Calibration):** 5 x 900 sec dark H $\alpha$  (06/12/2012), 9 x 480 sec dark RGB (10/12/2012), 50 bias H $\alpha$  (06/12/2012), 50 bias RGB (10/12/2012), 50 flat H $\alpha$  (06/12/2012), 50 flat R (10/12/2012), 50 flat G (10/12/2012), 50 flat B (10/12/2012)

**Fase lunare media (Average Moon phase):** 42% (06/12/2012), 6% (10/12/2012)

**Campionamento (Pixel scale):** 660 sec / 374.66 pixel = 1.7616 arcsec/pixel

**Focale equivalente (Equivalent focal length):** 750 mm

**Note (note):** LRGB (H $\alpha$ RGB)



NCG 7635 - 10/12/2012

Per scaricare i file originali in formato FIT [clicca qui](#) (password richiesta) / [Click here](#) in order to download the original files in FIT format (password request)

---

## Efficienza Quantica

Nell'articolo "[Il fotoelemento: fotodiodo e photogate](#)" abbiamo visto come un fotone di lunghezza d'onda compresa tra 350 e 1100 nm ha una certa probabilità di venir "convertito" in elettroni liberi. Ovviamente quanto detto è un concetto generale che in questo post andremo ad approfondire più dettagliatamente. In primo luogo ricordiamo che il limite a bassa lunghezza d'onda è fissato dalla riflessione dei fotoni incidenti sul Silicio che compone il fotoelemento mentre quello ad alta lunghezza d'onda è fissato dall'energy gap del materiale. A lunghezze d'onda inferiori e superiori il Silicio diviene praticamente trasparente (riflettente) alla radiazione luminosa.



Nell'articolo "[E' questione di elettroni](#)" abbiamo detto che se un fotone si trova nel range di lunghezze d'onda appropriato, questo verrà assorbito dal fotoelemento. Questo è vero se lo spessore del Silicio fosse infinito. Infatti un fotone di lunghezza d'onda  $\lambda$  ha una determinata probabilità  $P$  di essere assorbito da uno spessore  $d$  di Silicio. Per un fotoelemento, tale probabilità è generalmente inferiore al 100% e aumenta all'aumentare di  $d$ . Questo spiega perché i sensori retroilluminati (più spessi) sono anche quelli più sensibili alla radiazione luminosa.

Ora,  $P(\lambda)$  rappresenta veramente la probabilità che un fotone di lunghezza d'onda  $\lambda$  venga registrato dal nostro sensore, sia esso di tipo CCD o CMOS? Ovviamente no. Infatti  $P(\lambda)$  non tiene in considerazione la geometria del fotoelemento, la capacità di raccogliere la carica depositata e molti altri fattori. La grandezza fisica che raccoglie tutte queste informazioni è detta *efficienza quantica* QE. Ovviamente QE è funzione di  $\lambda$  e riflette complessivamente l'andamento di  $P(\lambda)$ .

L'efficienza quantica, per definizione, è riferita ad un singolo fotoelemento e quindi è un concetto generalizzabile ad un sensore a patto di considerare la risposta di ciascun pixel alla luce identica. Inoltre la risposta del Silicio alla luce dipende dalla temperatura dello stesso ed in particolare si ha una riduzione di QE al diminuire della temperatura di funzionamento. Quindi non è sempre detto che un Silicio funziona tanto meglio quanto raffreddato (si veda l'articolo "[Il dark frame](#)").

Al fine di migliorare l'assorbimento della luce, solitamente viene posto uno strato antiriflesso di fronte al fotoelemento.

Nel caso delle DSLR è necessario prendere in considerazione anche la presenza dei filtri interposti nel cammino ottico. In particolare il filtro IR-cut posto di fronte al sensore e la matrice di filtri colorati RGB. Ecco quindi che rivenditori, come ad esempio Nikon o Canon, forniscono per ogni fotocamera digitale tre curve di efficienza quantica, una per ciascun filtro colorato.

In figura 1 riportiamo l'efficienza quantica dell'occhio umano, di un

sensores CCD (Atik 314L+ monocromatica), di un sensore CMOS (Magzero MZ-5m) e di una reflex digitale (sensore CMOS Canon EOS 40D) con e senza modifica Baader.

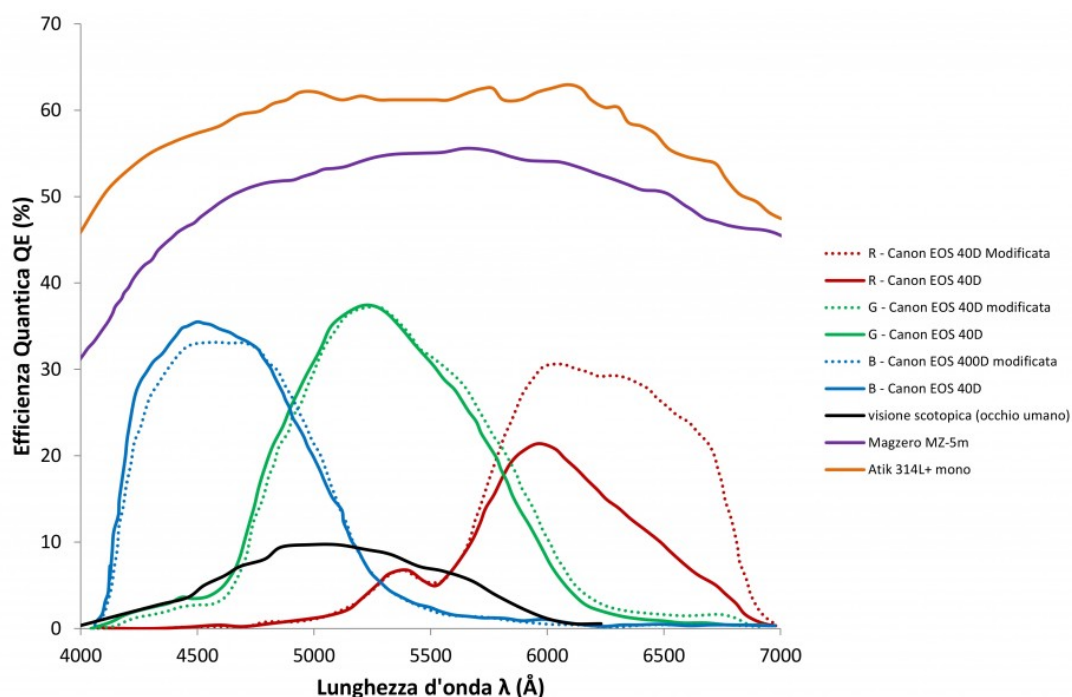


Figura 1: confronto tra efficienze quantiche di diversi strumenti per la visione/ripresa notturna.

## NGC 7635 – 06/12/2012

**Telescopio o obiettivo di acquisizione (Imaging telescope or lens):** Newton SkyWatcher BlackDiamond 150 mm f/5

**Camera di acquisizione (Imaging camera):** CCD Atik 314L+ B/W [6.45  $\mu\text{m}$ ]

**Montatura (Mount):** SkyWatcher NEQ6

**Telescopio o obiettivo di guida (Guiding telescope or lens):** Rifrattore ED (ED refractor) Tecnosky Carbon Fiber 80mm f/7

**Camera di guida (Guiding camera):** Magzero MZ-5m B/W [5.2  $\mu\text{m}$ ]

**Riduttore di focale (Focal reducer):** non presente (not present)

**Software (Software):** IRIS + Adobe Photoshop CS3/CS6

**Accessori (Accessories):** correttore di coma Baader MPCC (coma corrector)

**Filtri (Filter):** Astronomik CCD H $\alpha$  13nm, Astronomik CCD SII 13nm, Astronomik CCD OIII 12nm

**Risoluzione (Resolution):** 1391 x 1039

**Data (Date):** 06/12/2012

**Luogo (Location):** Briosco – MB, Italia (Italy)

**Pose (Frames):** 5 x 900 sec bin 1x1 H $\alpha$ , 1 x 1024 sec bin 1x1 SII, 1 x 1024 sec bin 1x1 OIII

**Calibrazione (Calibration):** 5 x 900 sec dark, 1 x 1024 sec dark, 50 bias, 50 flat x H $\alpha$ , 50 flat x SII, 50 flat x OIII

**Fase lunare media (Average Moon phase):** 42%

**Campionamento (Pixel scale):** 660 sec / 374.66 pixel = 1.7616 arcsec/pixel

**Focale equivalente (Equivalent focal length):** 750 mm

**Note (note):** LRGB (H $\alpha$ SIIH $\alpha$ OIII)



NGC 7635 - 06/12/2012



NGC 7635 - 06/12/2012 (filtro/filter  
H $\alpha$ )




NGC 7635 - 06/12/2012 (filtro/filter  
SII)



NGC 7635 - 06/12/2012 (filtro/filter  
OIII)

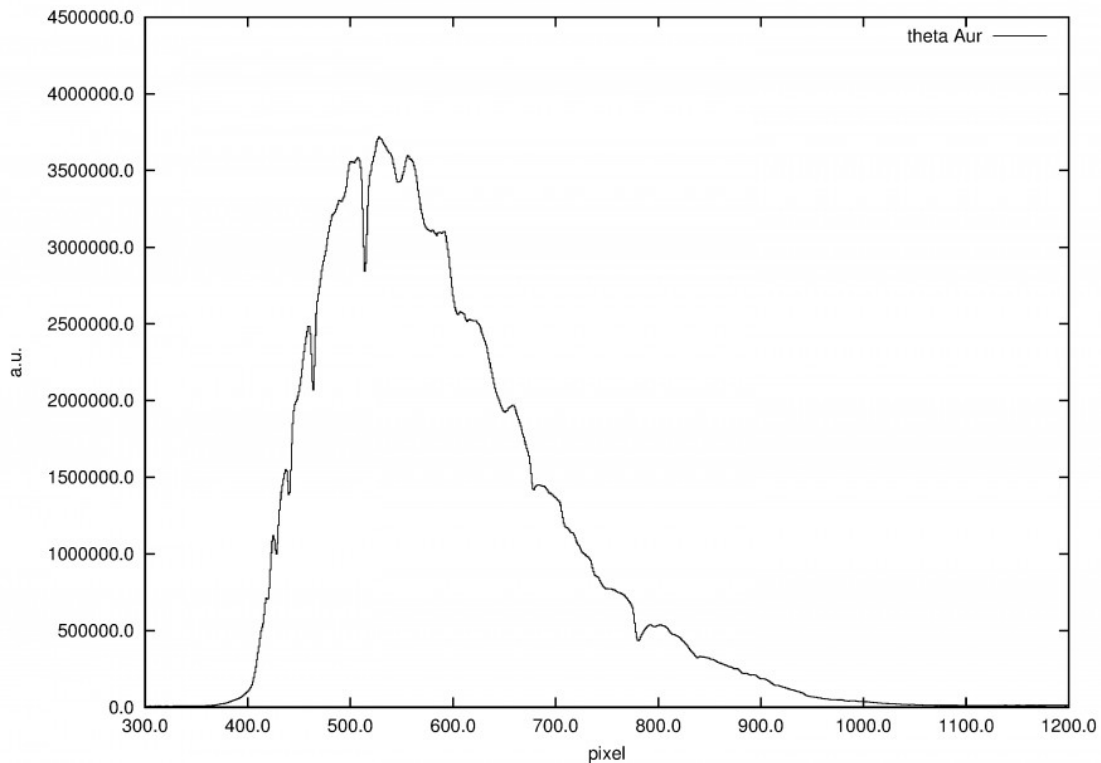
---

**A $\theta$ - $\theta$ Aur (Mahasim o Bogardus)**



La stella  $\theta$  della costellazione dell'Auriga è un sistema binario di cui la componente più luminosa di classe spettrale A0pSi e si trova a circa 166 A.L. dalla nostra stella. Questa ruota su se stessa con una velocità di circa 29.5 km/s. La massa della stella è circa il triplo di quella del Sole ed il raggio cinque volte tanto. La temperatura stimata è intorno ai 10'400 K.

L'immagine in figura rappresenta lo spettro di  $\theta$ Aur ripresa il giorno 03 Dicembre 2012 alle ore 21.45 (TMEC) da Briosco (MB) con un telescopio Newton SkyWatcher 200mm f/4 + reticolo di diffrazione StarAnalyser 100 + camera Magzero MZ-5m. Una prima analisi dello spettro di assorbimento mostra in modo marcato la presenza della serie di Balmer ed in particolare le linee dalla H $\alpha$  alla H $\zeta$ . Di seguito è riportato l'istogramma della regione di interesse. L'offset ottenuto tramite fit gaussiano è 41.6979 pixel. La massima luminosità è raggiunta per lunghezze d'onda pari a 4995.2 Å. [Scarica il file di testo della misura.](#)



Spettro di assorbimento non calibrato (Visual Spec)

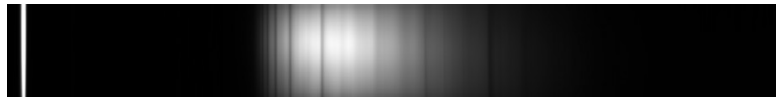
A questo punto si è proceduto alla realizzazione dello spettro MAX-assorbimento al fine di semplificare le future operazioni di fit. Effettuando un fit gaussiano sui picchi otteniamo:

- 3882.8 Å *linea H $\zeta$  dell'HI (3888.6 Å)*
- 3971.0 Å *linea H $\epsilon$  dell'HI (3969.7 Å)*
- 4098.4 Å *linea H $\delta$  dell'HI (4101.3 Å)*
- 4340.6 Å *linea H $\gamma$  dell'HI (4340.0 Å)*
- 4620.5 Å *linea da identificare*
- 4740.3 Å *linea da identificare*
- 4860.7 Å *linea H $\beta$  dell'HI (4860.8 Å)*
- 5202.8 Å *linea da identificare*
- 5576.4 Å *linea da identificare*
- 5623.9 Å *linea da identificare*
- 5790.9 Å *linea da identificare*
- 5885.9 Å *linea da identificare*
- 6257.5 Å *linea da identificare*
- 6551.4 Å *linea H $\alpha$  dell'HI (6562.1 Å)*
- 7597.9 Å *linea da identificare*
- 7751.6 Å *linea da identificare*



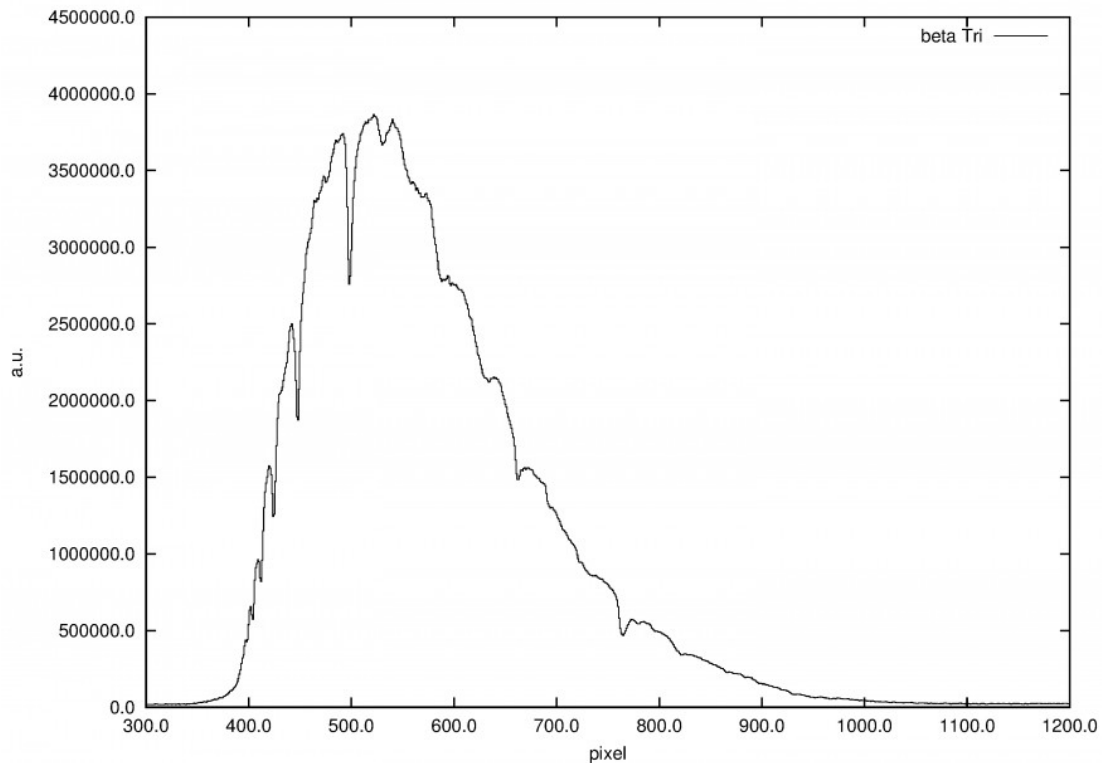
- 8184.4 Å linea da identificare
- 

## A5-βTri



La stella  $\beta$  della costellazione del Triangolo è di tipo A5III e si trova a circa 127 A.L. dalla nostra stella. Questa ruota su se stessa con una velocità di circa 70 km/s. La stella è una variabile probabilmente di tipo spettroscopica ad eclisse. La temperatura stimata è intorno ai 7'220 K.

L'immagine in figura rappresenta lo spettro di  $\beta$ Tri ripresa il giorno 03 Dicembre 2012 alle ore 22.01 (TMEC) da Briosco (MB) con un telescopio Newton SkyWatcher 200mm f/4 + reticolo di diffrazione StarAnalyser 100 + camera Magzero MZ-5m. Una prima analisi dello spettro di assorbimento mostra in modo marcato la presenza della serie di Balmer ed in particolare le linee dalla  $H\alpha$  alla  $H\eta$ . Di seguito è riportato l'istogramma della regione di interesse. L'offset ottenuto tramite fit gaussiano è 25.971 pixel. La massima luminosità è raggiunta per lunghezze d'onda pari a 5095.0 Å. [Scarica il file di testo della misura.](#)



Spettro di assorbimento non calibrato (Visual Spec)

A questo punto si è proceduto alla realizzazione dello spettro MAX-assorbimento al fine di semplificare le future operazioni di fit. Effettuando un fit gaussiano sui picchi otteniamo:

- 3827.3 Å *linea H $\eta$  dell'HI (3835.0 Å)*
- 3886.2 Å *linea H $\zeta$  dell'HI (3888.6 Å)*
- 3966.9 Å *linea H $\epsilon$  dell'HI (3969.7 Å)*
- 4096.9 Å *linea H $\delta$  dell'HI (4101.3 Å)*
- 4336.4 Å *linea H $\gamma$  dell'HI (4340.0 Å)*
- 4626.0 Å *linea da identificare*
- 4860.0 Å *linea H $\beta$  dell'HI (4860.8 Å)*
- 5191.8 Å *linea da identificare*
- 5588.5 Å *linea da identificare*
- 5795.1 Å *linea da identificare*
- 6544.8 Å *linea H $\alpha$  dell'HI (6562.1 Å)*
- 7593.2 Å *linea da identificare*
- 7746.4 Å *linea da identificare*
- 8181.8 Å *linea da identificare*
- 8812.7 Å *linea da identificare*

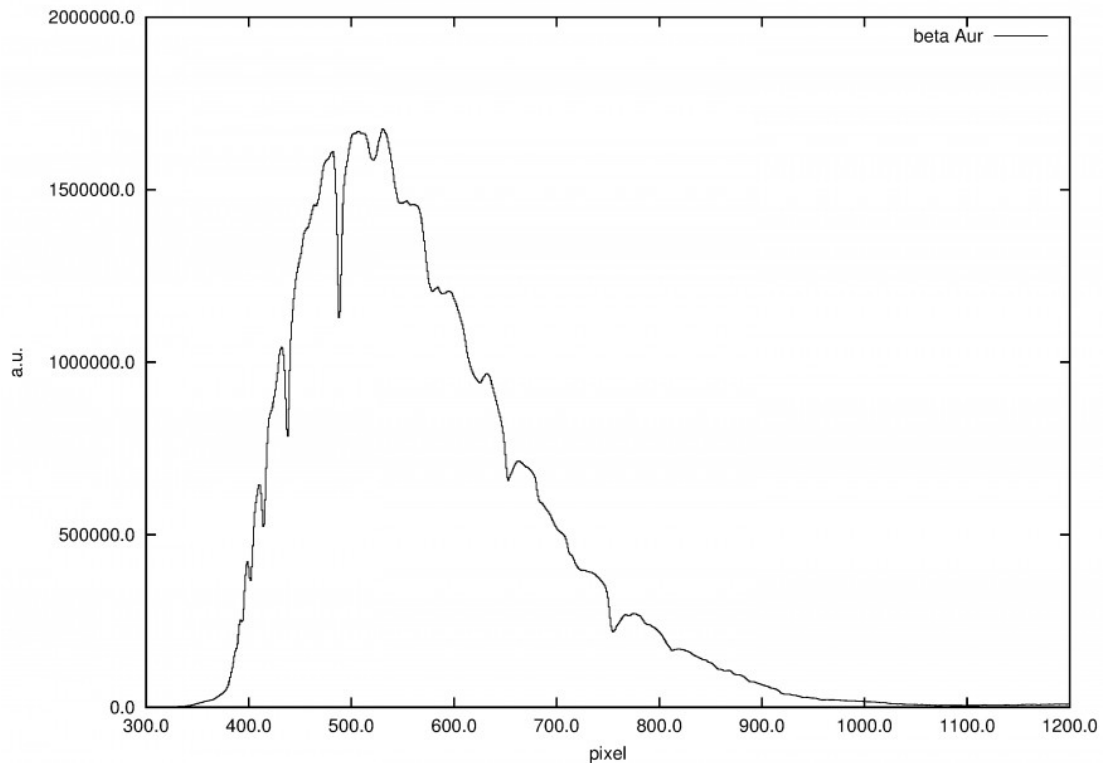
---

# A1- $\beta$ Aur (Menkalinan)



La stella  $\beta$  della costellazione dell'Auriga è un sistema stellare triplo di cui la stella più luminosa di classe A1IV e si trova a circa 81 A.L. dalla nostra stella. La sua massa è praticamente il triplo di quello del Sole mentre la massa circa il doppio. La temperatura effettiva è pari a circa 9'000 K e ruota su se stessa con una velocità di 33 km/s. Del sistema triplo, la seconda stella Menkalian B ha praticamente le stesse caratteristiche della componente principale. Il sistema Menkalian A e B costituiscono una variabile spettroscopica ad eclisse.

L'immagine in figura rappresenta lo spettro di  $\beta$ Aur ripresa il giorno 03 Dicembre 2012 alle ore 21.37 (TMEC) da Briosco (MB) con un telescopio Newton SkyWatcher 200mm f/4 + reticolo di diffrazione StarAnalyser 100 + camera Magzero MZ-5m. Una prima analisi dello spettro di assorbimento mostra in modo marcato la presenza della serie di Balmer ed in particolare le linee dalla H $\alpha$  alla H $\zeta$ . Di seguito è riportato l'istogramma della regione di interesse. L'offset ottenuto tramite fit gaussiano è 16.3886 pixel. La massima luminosità è raggiunta per lunghezze d'onda pari a 5285.6 Å. [Scarica il file di testo della misura.](#)

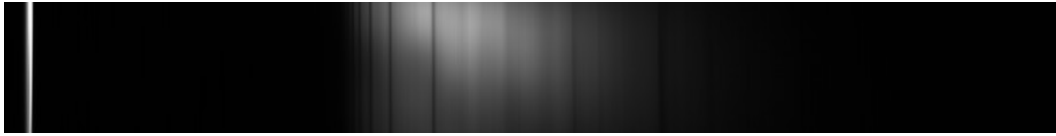


Spettro di assorbimento non calibrato (Visual Spec)

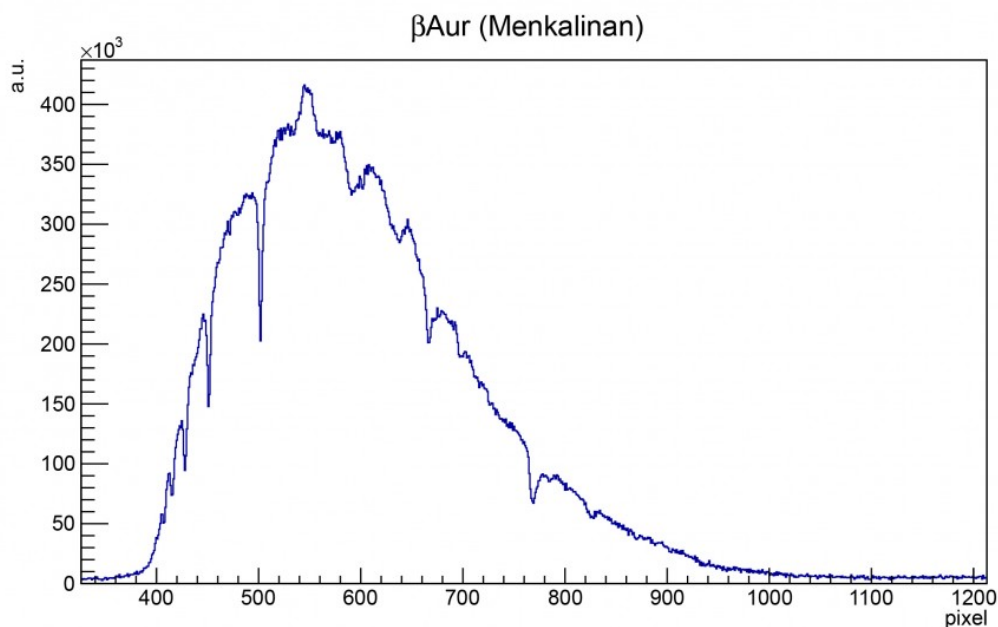
A questo punto si è proceduto alla realizzazione dello spettro MAX-assorbimento al fine di semplificare le future operazioni di fit. Effettuando un fit gaussiano sui picchi otteniamo:

- 3878.5 Å *linea Hζ dell'HI (3888.6 Å)*
- 3962.7 Å *linea Hε dell'HI (3969.7 Å)*
- 4092.9 Å *linea Hδ dell'HI (4101.3 Å)*
- 4332.3 Å *linea Hγ dell'HI (4340.0 Å)*
- 4617.7 Å *linea da identificare*
- 4854.1 Å *linea Hβ dell'HI (4860.8 Å)*
- 5188.8 Å *linea da identificare*
- 5480.0 Å *linea da identificare*
- 5577.6 Å *linea da identificare*
- 5786.7 Å *linea da identificare*
- 5892.5 Å *linea da identificare*
- 6252.7 Å *linea da identificare*
- 6545.8 Å *linea Hα dell'HI (6562.1 Å)*
- 7591.8 Å *linea da identificare*
- 7744.8 Å *linea da identificare*
- 8186.1 Å *linea da identificare*

- 8819.4 Å linea da identificare
- 8966.5 Å linea da identificare



La stessa stella è stata ripresa con il medesimo setup anche il giorno 19/12/2012 ore 23.03 (TMEC). L'offset ottenuto tramite fit gaussiano è 31.4795 pixel. La massima luminosità è raggiunta per lunghezze d'onda pari a 5274.4 Å. [Scarica il file di testo della misura.](#)



Spettro di assorbimento non calibrato (Visual Spec)

A questo punto si è proceduto alla realizzazione dello spettro MAX-assorbimento al fine di semplificare le future operazioni di fit. Effettuando un fit gaussiano sui picchi otteniamo:

- 3810.9 Å linea  $H\eta$  dell'HI (3835.0 Å)
- 3878.1 Å linea  $H\zeta$  dell'HI (3888.6 Å)
- 3958.4 Å linea  $H\epsilon$  dell'HI (3969.7 Å)
- 4090.3 Å linea  $H\delta$  dell'HI (4101.3 Å)
- 4328.9 Å linea  $H\gamma$  dell'HI (4340.0 Å)
- 4849.3 Å linea  $H\beta$  dell'HI (4860.8 Å)

- 5784.8 Å
- 6240.1 Å
- 6546.5 Å *linea H $\alpha$  dell'HI (6562.1 Å)*
- 6866.6 Å
- 7583.2 Å
- 8188.2 Å

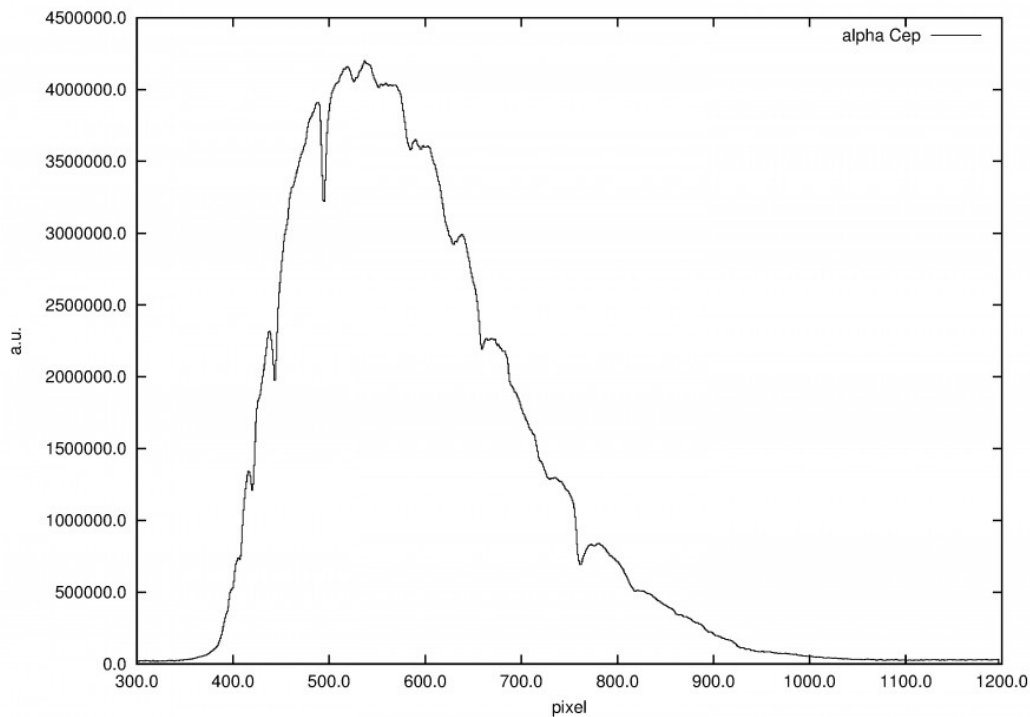
---

## A7- $\alpha$ Cep (Alderamin)



La stella  $\alpha$  della costellazione del Cefeo è di tipo A7IV-V e si trova a circa 49 A.L. dalla nostra stella. La sua massa è praticamente il doppio di quello del Sole mentre il suo raggio è 2.5 volte. La temperatura effettiva è pari a 7'500 – 8'000 K e ruota su se stessa con una velocità di 246 km/s.

L'immagine in figura rappresenta lo spettro di  $\alpha$ Cep ripresa il giorno 03 Dicembre 2012 alle ore 21.55 (TMEC) da Briosco (MB) con un telescopio Newton SkyWatcher 200mm f/4 + reticolo di diffrazione StarAnalyser 100 + camera Magzero MZ-5m. Una prima analisi dello spettro di assorbimento mostra in modo marcato la presenza della serie di Balmer ed in particolare le linee dalla H $\alpha$  alla H $\epsilon$ . Di seguito è riportato l'istogramma della regione di interesse. L'offset ottenuto tramite fit gaussiano è 22.0295 pixel. La massima luminosità è raggiunta per lunghezze d'onda pari a 5289.3 Å. [Scarica il file di testo della misura.](#)



Spettro di assorbimento non calibrato (Visual Spec)

A questo punto si è proceduto alla realizzazione dello spettro MAX-assorbimento al fine di semplificare le future operazioni di fit. Effettuando un fit gaussiano sui picchi otteniamo:

- 3959.1 Å *linea H $\epsilon$  dell'HI (3969.7 Å)*
- 4093.7 Å *linea H $\delta$  dell'HI (4101.3 Å)*
- 4333.4 Å *linea H $\gamma$  dell'HI (4340.0 Å)*
- 4860.2 Å *linea H $\beta$  dell'HI (4860.8 Å)*
- 5187.3 Å *linea da identificare*
- 5445.4 Å *linea da identificare*
- 5489.7 Å *linea da identificare*
- 5552.7 Å *linea da identificare*
- 5592.1 Å *linea da identificare*
- 5783.4 Å *linea da identificare*
- 5891.9 Å *linea da identificare*
- 6246.5 Å *linea da identificare*
- 6551.3 Å *linea H $\alpha$  dell'HI (6562.1 Å)*
- 7282.8 Å *linea da identificare*
- 7600.0 Å *linea da identificare*
- 7744.0 Å *linea da identificare*



- 8191.7 Å linea da identificare
  - 8650.7 Å linea da identificare
  - 8981.2 Å linea da identificare
  - 9318.4 Å linea da identificare
- 

# Misura della costante di Rydberg utilizzando un reticolo di diffrazione

ARTICOLI DI ASTRONOMIA AMATORIALE

VOLUME 1 NUMERO 1 (2012)

## ABSTRACT

La temperatura dell'atmosfera stellare di stelle di classe spettrale A è tale per cui gli atomi di Idrogeno presenti si trovano principalmente in uno stato legato con numero quantico principale  $n$  maggiore o uguale a due. Le transizioni sullo stato fondamentale risultano quindi sfavorite e il canale aperto più probabile è la transizione dal livello  $n' > 2$  allo stato  $n = 2$  (Serie di Balmer). Dato che la lunghezza d'onda della radiazione assorbita dal gas stellare è legata ai numeri quantici  $n$  ed  $n'$  dalla nota formula di Rydberg, è possibile estrarre il valore dell'omonima costante  $R$  a partire dallo spettro elettromagnetico misurato al telescopio con un reticolo di diffrazione di tipo Star Analyser 100. In questo articolo si riportano i dati ottenuti utilizzando gli spettri di 14 stelle di tipo A acquisiti nell'anno 2012.

[SCARICA L'ARTICOLO IN FORMATO PDF](#)

---

# Giove – 03/12/2012

**Telescopio o obiettivo di acquisizione (Imaging telescope or lens):** Newton SkyWatcher WidePhoto 200 mm f/4

**Camera di acquisizione (Imaging camera):** Magzero MZ-5m B/W [5.2  $\mu\text{m}$ ]

**Montatura (Mount):** SkyWatcher NEQ6

**Telescopio o obiettivo di guida (Guiding telescope or lens):** non presente (not present)

**Camera di guida (Guiding camera):** non presente (not present)

**Riduttore di focale (Focal reducer):** non presente (not present)

**Software (Software):** Registax6 + Adobe Photoshop CS6

**Accessori (Accessories):** Lente di Barlow TeleVue Powermate 5x (TeleVue Powermate 5x Barlow lens)

**Filtri (Filter):** non presente (not present)

**Risoluzione (Resolution):** 800 x 600

**Data (Date):** 03/12/2012

**Luogo (Location):** Briosco – MB, Italia (Italy)

**Pose (Frames):** somma di 500 frames

**Calibrazione (Calibration):** non presente (not present)

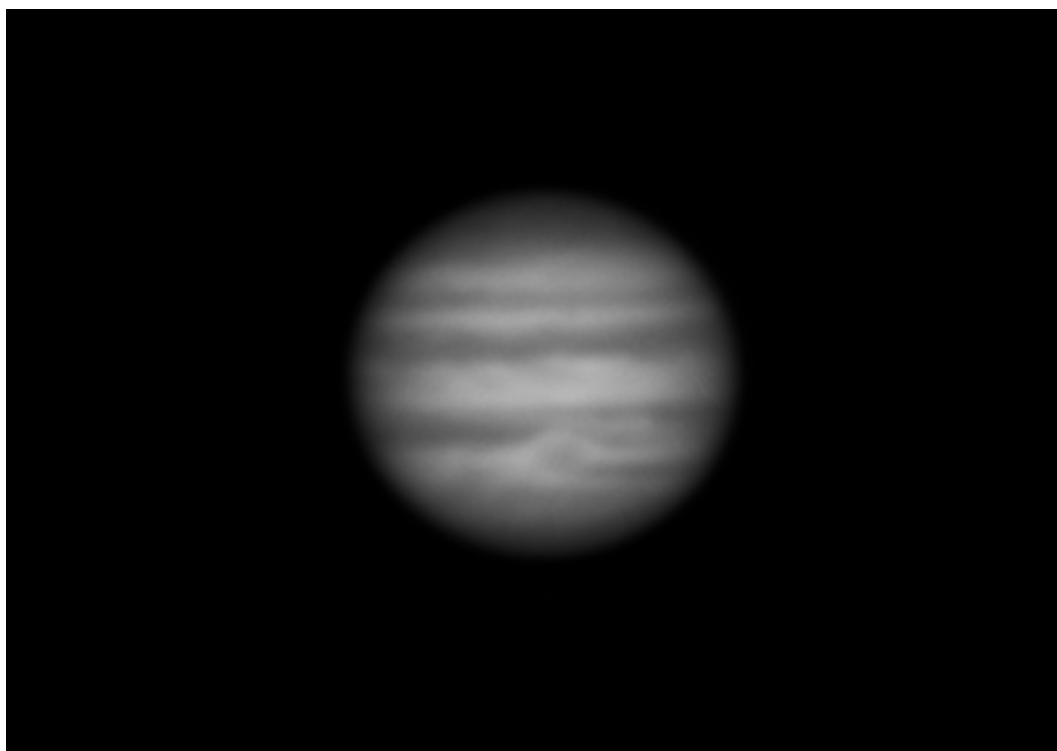
**Fase lunare media (Average Moon phase):** 76%

**Campionamento (Pixel scale):** 48.46 sec / 197 pixel = 0.24599

arcsec/pixel

**Focale equivalente (Equivalent focal length): 4360 mm**

[\(clicca qui per scaricare l'immagine originale in formato TIFF  
– click here in order to download the TIFF file\)](#)



Giove - 03/12/2012

---

## **Sei mesi di ASTROtrezzi.it: AUGURI!**

Eccoci qui di nuovo insieme a sei mesi da quell'ormai lontano 28 Maggio 2012 quando decisi di dar vita al sito ASTROtrezzi.it . A quel tempo possedevo già un sito internet personale in cui postare le mie immagini (www.davidetrezzi.it) ma cercavo qualcosa di meglio, qualcosa che potesse dare all'astrofilo esperto così come al neofita una serie di

informazioni pratiche sul mondo dell'Astronomia e dell'Astrofotografia.

Ecco quindi l'idea di costruire un sito internet partendo non dalle classiche rubriche "il cielo del mese" o articoli di astrofisica tipo "buchi neri, materia oscura, ...", ma da guide all'utilizzo e sviluppo di tecniche astronomiche come l'astrofotografia, la spettroscopia, la valutazione dell'inquinamento luminoso o la ricerca di posti bui dove osservare il cielo notturno.

Ecco quindi che in soli sei mesi il sito si è arricchito di ben 159 post e 38 pagine: praticamente una media di quasi un articolo al giorno.

Le sezioni del sito non sono ovviamente ancora completate e forse non lo saranno mai dato che gli argomenti da trattare sono infiniti. Bisogna comunque dire che il sito oggi contiene un numero non trascurabile di immagini in altissima risoluzione (le migliori raccolte in ASTROgallery) e che la guida "Astrofotografia Digitale" in ASTROfotografia è ormai a buon punto. Povera rimane ancora la sezione ASTROnomia, che comunque procede seppur a passi lenti. ASTROlink invece si arricchisce giorno dopo giorno di preziosi link grazie anche ai suggerimenti dei lettori.



Logo di  
ASTROtrezzi.it  
su Facebook

La risposta di questi ultimi al sito ASTROtrezzi.it è stata molto positiva. Il numero di visitatori è aumentato mese dopo

mese per un totale di 2176 unità. Anche le pagine viste aumentano mese dopo mese. Ad oggi 12251 pagine sono state lette e questa è una delle più grandi soddisfazioni ottenute da questo sito: grazie di cuore!

Di tutti i visitatori ovviamente il 93.29% arrivano dall'Italia, un 0.59% dalla Germania e 0.55% da Francia e Regno Unito. Il 6.71% di visitatori stranieri deve comunque far riflettere e ASTROtrezzi.it non potrà in futuro dimenticarsi di loro.

In Italia la distribuzione delle visite è a macchia di leopardo e concentrata principalmente in Lombardia, Emilia Romagna, Veneto e Campania. Le regioni che non visitano frequentemente ASTROtrezzi sono Puglia, Basilicata e Molise probabilmente a causa della bassa densità abitativa di quelle zone. In futuro ASTROtrezzi.it cercherà di far breccia anche in quelle regioni stingendo collegamenti con associazioni locali.

Le città amiche di ASTROtrezzi.it sono Milano (con il 30.10% delle visite), Roma (10.92%), Torino (2.25%), Genova (1.91%) e Palermo (1.91%).

## **Facebook**

Dal 20 Luglio 2012 ASTROtrezzi è anche su Facebook e Twitter. Questo per far conoscere ASTROtrezzi.it alla comunità dei social network nonché fornire ai lettore uno spazio dove discutere di Astronomia e Astrofotografia. Amici personali e non, vengono così aggiornati giorno dopo giorno dei nuovi articoli postati sul sito nonché delle nuove immagini pubblicate. La comunità degli ASTROtrezzini è cresciuta ed oggi siamo in 84.

I visitatori della pagina Facebook di ASTROtrezzi sono comunque molti di più. Ad oggi ne contiamo quasi 200 e non possiamo lasciarceli scappare! In totale i post di ASTROtrezzi

on Facebook hanno ricevuto 658 visite e di questo vi ringrazio moltissimo.

Degli 84 fan della nostra pagina, il 61% sono uomini e quindi in futuro bisognerà pensare ad un ASTROtrezzi.it più rosa. La bassa partecipazione delle donne al mondo dell'Astronomia è nota da anni ma, questo dato di fatto, fornisce ad ASTROtrezzi uno stimolo grandissimo per cercare di invertire la tendenza. La fascia di età favorita, indipendentemente dal sesso, è quella compresa tra 25 e 34 anni. Bisognerà quindi pensare ad un ASTROtrezzi aperto ai giovani.

Anche su Facebook i nostri visitatori provengono principalmente dall'Italia (227) seguita da Romania (17), Svizzera (9), Regno Unito (8) e Messico (5).

Le città amiche di ASTROtrezzi.it su Facebook sono invece Milano (20), Como (12), Bucarest (7), Giussano (7) e Roma (5).

## **Juza**

Il 28 Agosto 2012 a 3 mesi dalla nascita del sito, ASTROtrezzi.it è presente anche su uno dei più famosi siti di fotografia italiana: Juza. Da allora sono state postate 37 fotografie astronomiche che hanno registrato 10090 visite. Juza ha permesso ad ASTROtrezzi.it di diffondersi in Italia anche grazie ai 280 commenti postati sul sito. Ad oggi molti sono gli astrofotografi e neofiti che hanno conosciuto ASTROtrezzi grazie a Juza.



Logo di  
ASTROtrezzi  
.it su Juza

Il sito internet ASTROtrezzi.it, Facebook e Juza hanno creato tra loro un network sinergico. Gli utenti di Juza scoprono il fantastico mondo dell'Astrofotografia e dell'Astronomia scattando o visualizzando le immagini dei lettori. Naturale conseguenza è la visita del sito [www.astrotrezzi.it](http://www.astrotrezzi.it) che offre approfondimenti dettagliati degli argomenti trattati con superficialità su Juza. Interessati da ASTROtrezzi sono proprio questi visitatori che spesso si "iscrivono" alla nostra pagina Facebook seguendoci giorno dopo giorno. Numerosi sono ovviamente anche gli scambi di link con astrofotografi e gruppi astrofili.

Cosa ci aspetta nei prossimi 6 mesi di ASTROtrezzi.it? Innanzitutto da oggi esisterà uno **standard per la registrazione dei dati tecnici** delle immagini astronomiche che, per la prima volta, sarà bilingue italiano/inglese. Questo per dare l'opportunità a tutti i nostri visitatori stranieri di poter comprendere le tecniche utilizzate per la ripresa delle immagini. Sempre seguendo questa linea guida, dal 01 Dicembre 2012 tutti i post avranno un **riassunto in lingua inglese** mentre il sito diventerà completamente bilingue a partire dal 2014. Ovviamente questo allargherà il bacino di utenza, senza dimenticare che l'obiettivo principale di ASTROtrezzi.it è diventare un sito di riferimento per l'astrofotografia e astronomia amatoriale *italiana* dove l'offerta fornita dalla rete è spesso carente. Il 01 Gennaio 2012 verrà premiato il vincitore del "Concorso Astrofotografico 2012", il primo di ASTROtrezzi.it. Data la nutrita partecipazione, lo stesso concorso sarà proposto per il 2013.

Dal mondo virtuale a quello reale: Il 2013 sarà l'anno dei **workshop gratuiti** dove neofiti e neo astrofotografi potranno imparare a conoscere e riprendere il cielo. Inoltre l'operazione "**cieli sicuri**" permetterà l'aggregazione di persone per l'osservazione di cieli notturni al fine di ridurre episodi spiacevoli legati ad osservazioni solitarie in



luoghi isolati.

Oltre a Facebook e Twitter, nel 2013 gli utenti potranno venire informati delle attività del sito anche tramite un'opportuna **mailing-list**. Dal lato forum, oltre che su Juza, ASTROtrezzi sarà presente sul sito **Astrofili.org** supportando quello che, ad oggi, è il forum di riferimento dell'astrofilia italiana.

Ovviamente si rafforzeranno i collegamenti con i gruppi astrofili, osservatori e siti di astronomia.

Non mi resta quindi che augurarvi una piacevole lettura e a presto,

Davide Trezzi